

金沢大学工学部 正員 関 平和
 金沢大学工学部 正員 小森 友明
 INAX (株) 前原 勝

1. 緒言 不飽和土壤内の熱・水分の同時移動現象は、舗装路面下の土壤水分の蓄積¹⁾、地下埋設送電線周辺の土壤の乾き上がり²⁾、あるいは農業関係では栽培土壤加温時の温水管周辺土壤の乾き上がり³⁾の問題などに関連して重要である。従来、この現象については、主に土壤物理学の分野で Philip & de Vries³⁾ の液島モデルが提示されて以来、幾つかの報告があるが、熱・水分の移動物性値とそれらの相互関係並びにそれらの推算方法は必ずしも統一的ではなく、工学的に土壤温度、含水比分布を計算するに際し、不都合な場合が多い。本研究では、土壤のマトリック・ポテンシャル(サクション)を含水比、湿度の関数として近似的に表す方法を検討し、その関係式に基づいて各種移動物性値の推算式を導いた。そして、土壤内の一次元的な熱・水分同時移動過程の数値解析を行い、実験的にその妥当性を検討した。

2. 理論解析 2.1 マトリック・ポテンシャルと含水比、温度の関係

不飽和土壤においては、含水比 w と空隙中の水蒸気分圧 p_f (平衡蒸気圧) の間に、次のような熱力学的平衡関係が成立する。ここで、 T は温度 [$^{\circ}\text{C}$]

$$\frac{p_f}{p_{f0}} = \exp \left\{ \frac{-\phi_p}{R_v(T+273)} \right\} \quad (1) \quad R_v \text{ は水蒸気の気体定数 } [\text{J/kgK}], \phi_p \text{ は重力加速度 } [m/sec^2], \phi_p \text{ はマトリック・ポテンシャル } [m 水柱] \text{ を表す。} \phi_p \text{ は } w \text{ の増加と共に Fig. 1 のような傾向で変化することが知られている。}$$

簡単のため、吸水、脱水過程の hysteresis を考えないことにすれば、この曲線は土粒子に保持される水が毛管水から自由水へと遷移する点 (w_c, p_{fc}) を境として、数学的には次のような関数でよく近似できるように思われる。

$$\log \left(\frac{p_f}{p_{f0}} \right) = \begin{cases} p_{fc} + a \log_{10}(w_c/w) & (0 < w \leq w_c) \\ p_{fc} - a \frac{w_c - w}{w_c} \log_{10} \left(\frac{w_c - w}{w_c - w_s} \right) & (w_c \leq w < w_s) \end{cases} \quad (2-1) \quad (2-2)$$

式 (2-1) は Gardner⁴⁾ の式と等価であるが、これまで $w = 0 \sim w_s$ (飽和含水比) までの全含水比範囲にわたってこの関係を表示した例はあまり見られない。村上土壤についての ϕ_p の実測結果に基づき、点 (w_c, p_{fc})、定数 a を試行錯誤的に決定すれば、 w と ϕ_p の関係を良好に表すことができる。又、式 (2) で表示された ϕ_p を $\phi_{pd}(w)$ [標準温度を 20°C としたときの ϕ_p] とすれば、温度依存性を考慮した ϕ_p の一般形は次式で表される。ただし、 $(1/a)$ と $(20/2T)$ は $0 \sim 50^{\circ}\text{C}$ の温度範囲では一定値 ($-2.15 \times 10^{-3} \text{ }^{\circ}\text{C}^{-1}$) とみなして差し支えない。

2.2 土壤内の熱・水分同時移動基礎式、境界条件及び初期条件 有限な厚さの土壤下部から熱が供給され、上端から温・湿度一定な外気へ熱放散・蒸発が起こる一次元熱・水分同時移動モデルを考える (Fig. 2)。このモデルを解析するに当たり、以下の仮定を設定する。

- 1). 土壤を構成する3相[固相(土粒子)、液相(液状水)、気相(空気)]の温度は、同一水平面では互いに等しく、その値を土壤温度とみなす。
- 2). 土中の仕事の場所での水蒸気分圧は近似的にその場所の温度、含水比によって決まる平衡蒸気圧に等しい。
- 3). 下端(加熱部)は不透水の板で支切られており、そこでの水分移動はない。
- 4). 短波放射(日射)の系内への入射は考えない。

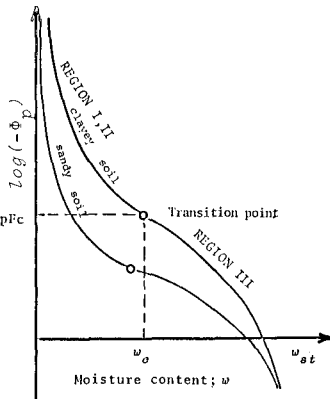


Fig. 1 Relation between moisture content and matrix potential

この場合、土壤内の熱・水分同時移動方程式は、
Philip & de Vriesによれば、次のとく書かれる。

$$\frac{\partial w}{\partial \theta} = \frac{\partial}{\partial z} (D_T \frac{\partial T}{\partial z}) + \frac{\partial}{\partial z} (D_w \frac{\partial w}{\partial z}) + P_w \frac{\partial k}{\partial z} \quad (0 < z < l) \quad \dots \dots (4)$$

$$\frac{\partial}{\partial z} \left(\frac{\partial (P_s + G_w w) T}{\partial \theta} \right) = \frac{\partial}{\partial z} (k_{eff} \frac{\partial T}{\partial z}) + L \frac{\partial}{\partial z} (P_{vw} D_w \frac{\partial w}{\partial z}) \quad (0 < z < l) \quad \dots \dots (5)$$

ただし、 $D_T = P_w D_{Tl} + P_{vw} D_{wl}$, $D_w = P_w D_{wl} + P_{vw} D_{wl}$ を表す。境界条件、初期条件は次のように与えられる。

$$-D_T \frac{\partial T}{\partial z} - D_w \frac{\partial w}{\partial z} - P_w k = h_s (H_s - H_\infty) \quad (z=l) \quad \dots \dots (6), \quad -K_{eff} \frac{\partial T}{\partial z} - L P_{vw} D_w \frac{\partial w}{\partial z} = h_s (T - T_\infty) + k_s L (H_s - H_\infty) + h_r (T - T_\infty) \quad (z=l) \quad \dots \dots (7)$$

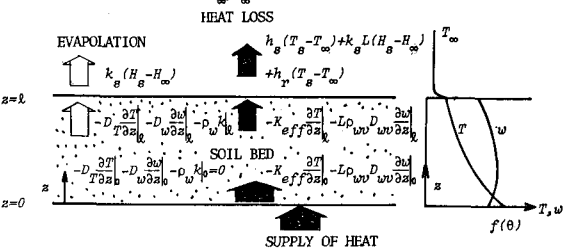
$$-D_T \frac{\partial T}{\partial z} - D_w \frac{\partial w}{\partial z} - P_w k = 0 \quad (z=0) \quad \dots \dots (8), \quad T = f(\theta) \quad (z=0) \quad \dots \dots (9), \quad w = w_i, \quad T = T_i \quad (\theta=0) \quad \dots \dots (10), (11)$$

2.3 移動物性値の推算式 式(4), (5)中に現れる移動物性値 D_{Tl} , D_{wl} , D_{wl} , D_{vw} , k , K_{eff} はすべての関数となる。このうち、透水係数 k には Green & Grey⁽⁶⁾ の式、水蒸気拡散係数 D_{vw} , D_{wl} には渡島モデル、有効熱伝導率 K_{eff} は Krischer モデルを幾分簡略化した推算式によって求めた。

3. 実験による数式モデルの検証

3.1 実験結果

Fig. 2 Schematic representation for one-dimensional heat and moisture transfer in soil



試料土は、富山県下新川郡の砂壤土である。土粒子の真密度は 2682 kg/m^3 、粒径加積曲線は Fig. 3 に示す通りである。本実験では、試料容器が小さいので、容器内の充填状態をできるだけ均一にしなければならない。粗粒子の混入を避け、 420μ より大きい粒子を除いて試料土とした。試料土の乾燥密度の平均値は 1432 kg/m^3 であった。Figs. 4, 5 に実験で得られた試料内温度分布、実験終了時の含水比分布の一例を○印で示した。温度分布は $6 \sim 7 \text{ hr}$ でほとんど変化しなくなるが、この時点では、水分蒸発は依然として起こっており、含水比は逐次減少している。すなわち、土壤内の熱移動の進行速度が水分移動のそれに比べて大きいことがわかる。

3.2 実験結果と計算結果の比較 温度分布、含水比分布の経時変化の計算結果を Figs. 4, 5 に実線で示した。操作条件、物性値の誤差を加味した実験精度の範囲内で、計算結果は実験結果と比較的よく一致し、理論的取り扱いにはほぼ妥当であると思われる。

4. 結言 マトリック・ポテンシャルの数式化を行った後、各種移動物性値の推算式を導き、一次元的熱・水分の同時移動過程の解析を行い、実測値と比較した結果、両者は良好に一致し、本理論解析の妥当性が示された。今後は、特に、農学分野で取り扱われている温水循環方式による施設内土壤加温操作を対象として、温水管周辺の土壤水分の動き上りの問題を中心に検討を進めていくと考えている。

[文献]

- 1) Raudkivi, A.J. and Uuu, N.V., Journal of the Geotechnical Engineering Division, ASCE, 102, GT12, 1976, 1225-1244.
- 2) Abdel-Hadi, O.N. and Mitchell, J.K., Journal of the Geotechnical Engineering Division, ASCE, 107, GT11, 1981, 1461-1487.
- 3) Philip, J.R. and de Vries, D.A., Trans. American Geotechnical Union, 28, 1957, 222-232.
- 4) Hillel, D. "土壤物理学概論" 岩田伸監修, 1984, 60, 農業堂

5) Green, R.E. and Corey, J.C., Soil Science Society of America, 35, 1971, 3-8

6) 平和・小森房明, 日本農業気象学会北陸支部会誌, 9, 1984, 43-48

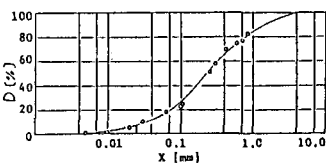


Fig. 3 Particle size distribution

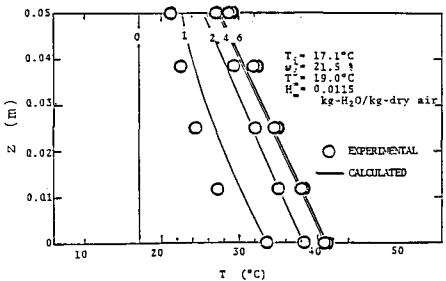


Fig. 4 Comparison of the experimental temperature distributions with the calculated results

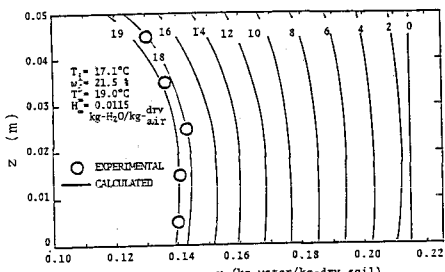


Fig. 5 Comparison of the experimental moisture distributions with the calculated results